

Diagrammes d'efforts internes des parois de soutènement

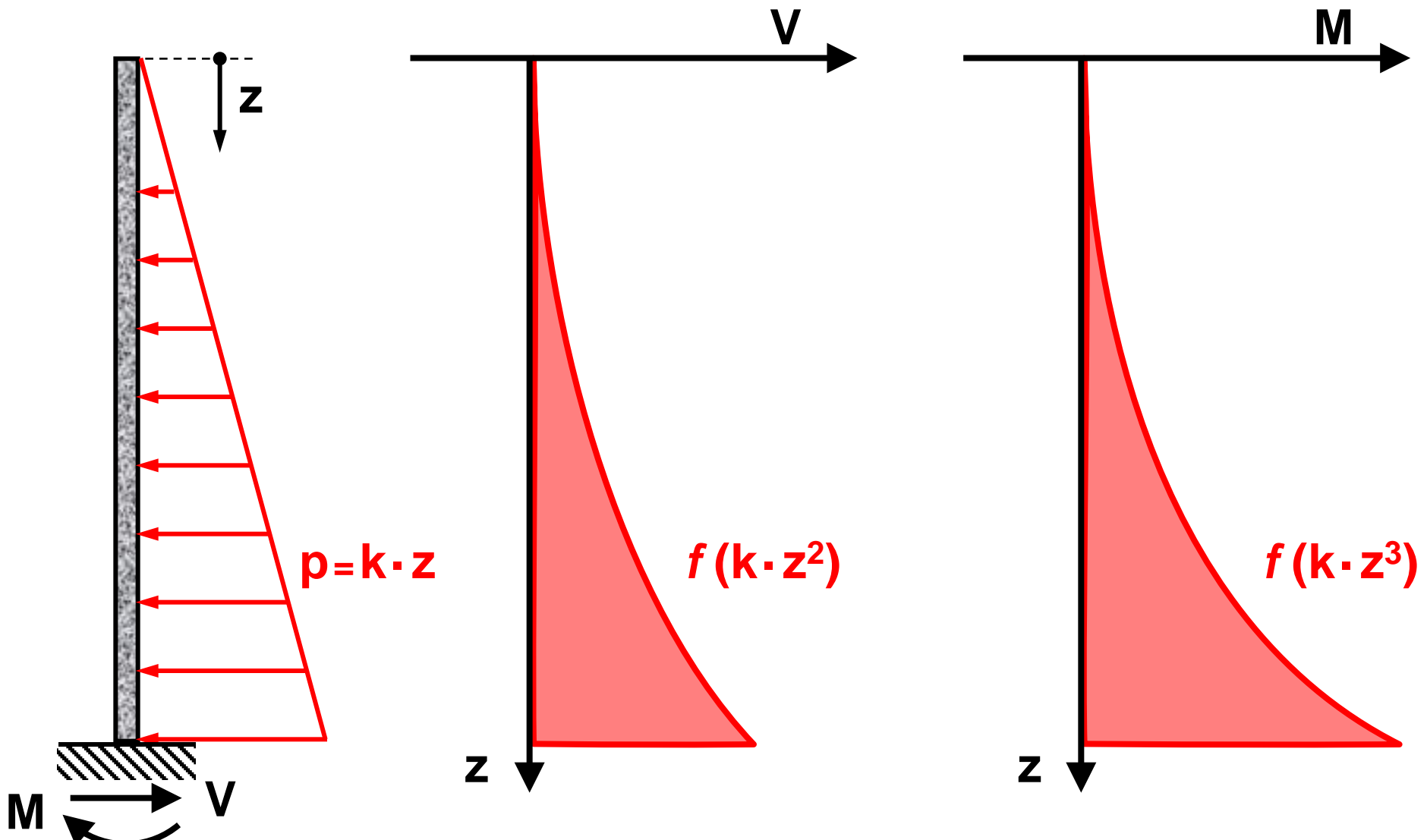


Ouvrages géotechniques

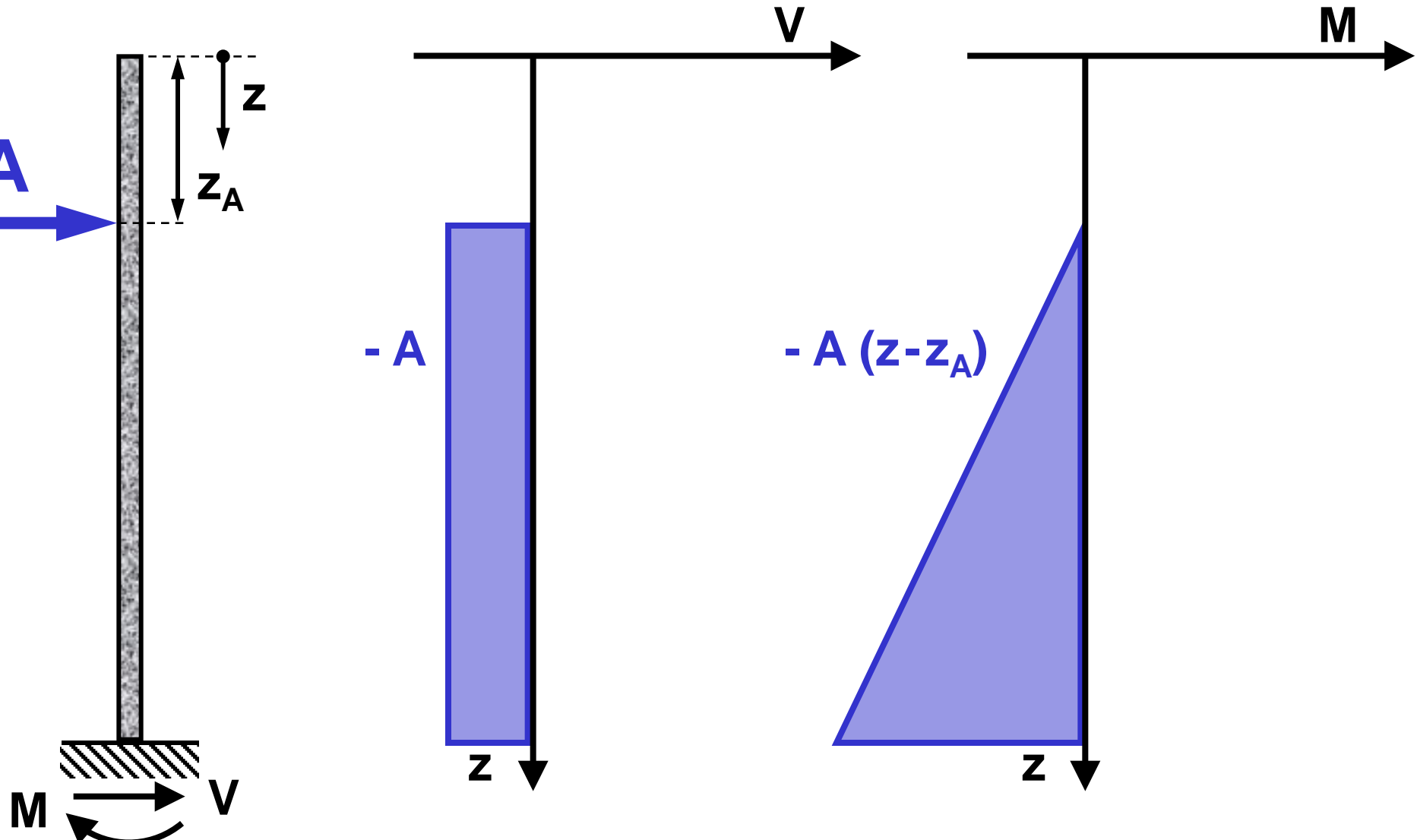


LMR
LABORATOIRE DE
MÉCANIQUE DES ROCHES

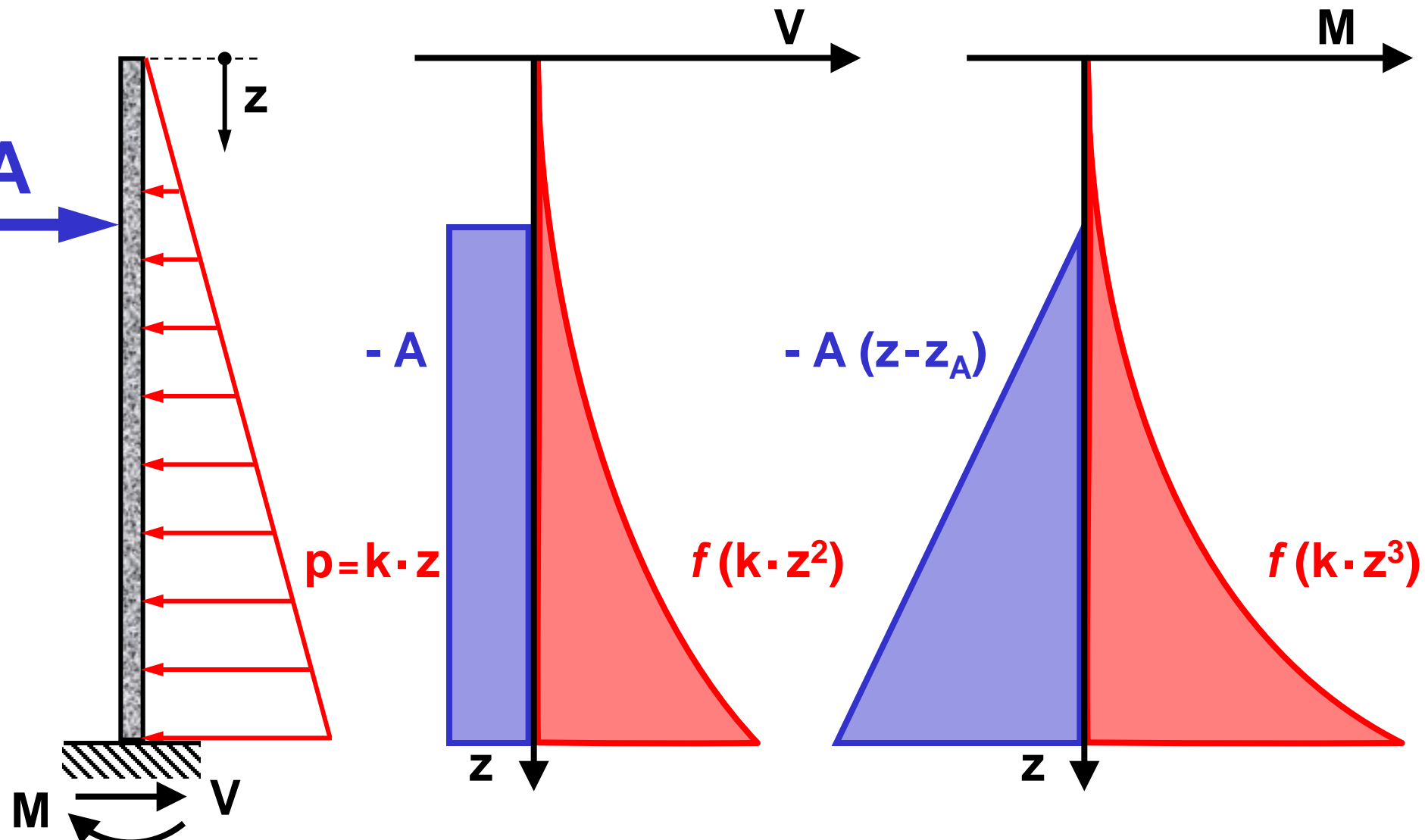
Effort tranchant et Moment fléchissant pour une charge répartie triangulaire



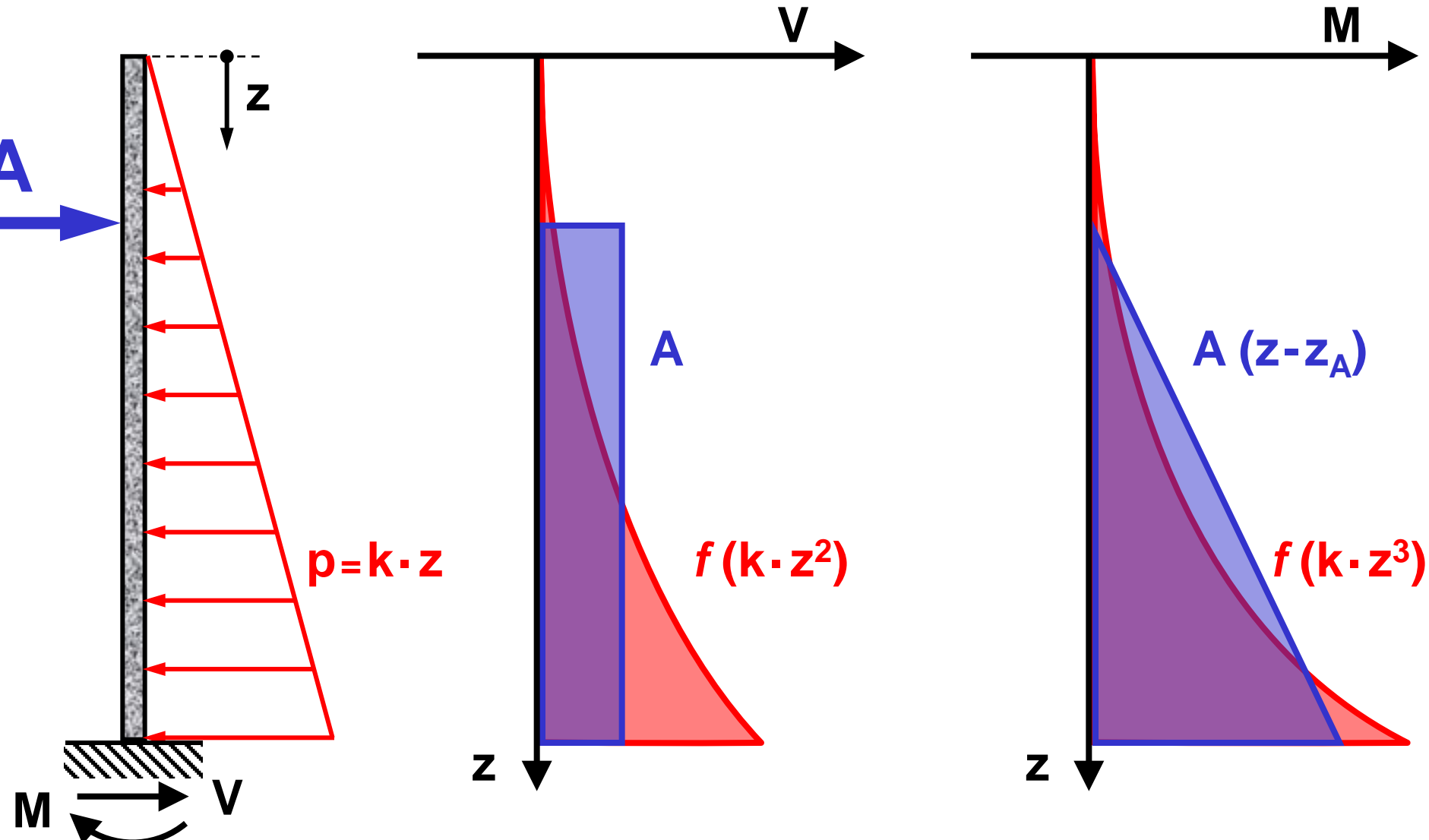
Effort tranchant et Moment fléchissant pour une force ponctuelle



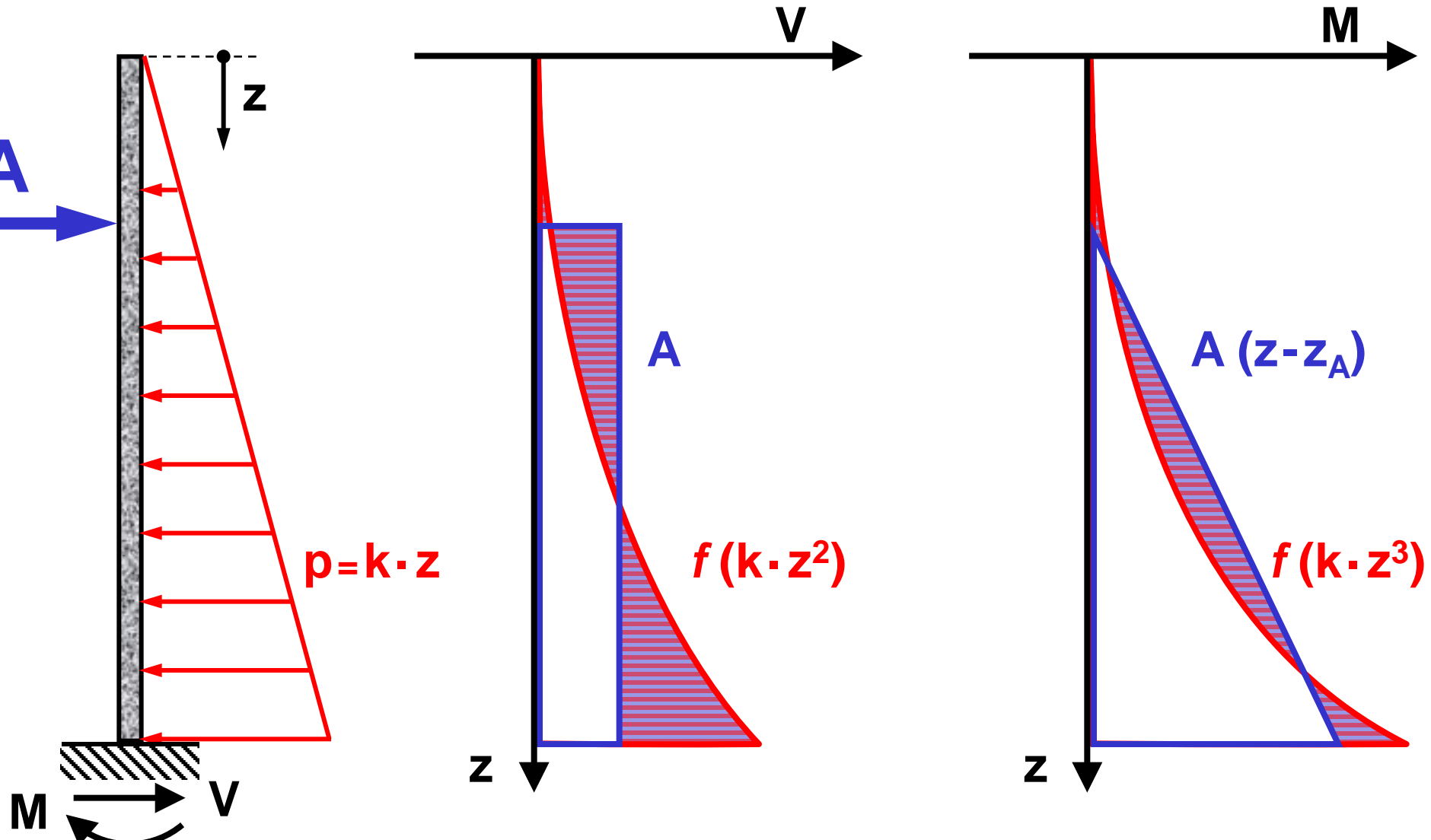
Effort tranchant et Moment fléchissant pour une charge répartie triangulaire et une force ponctuelle



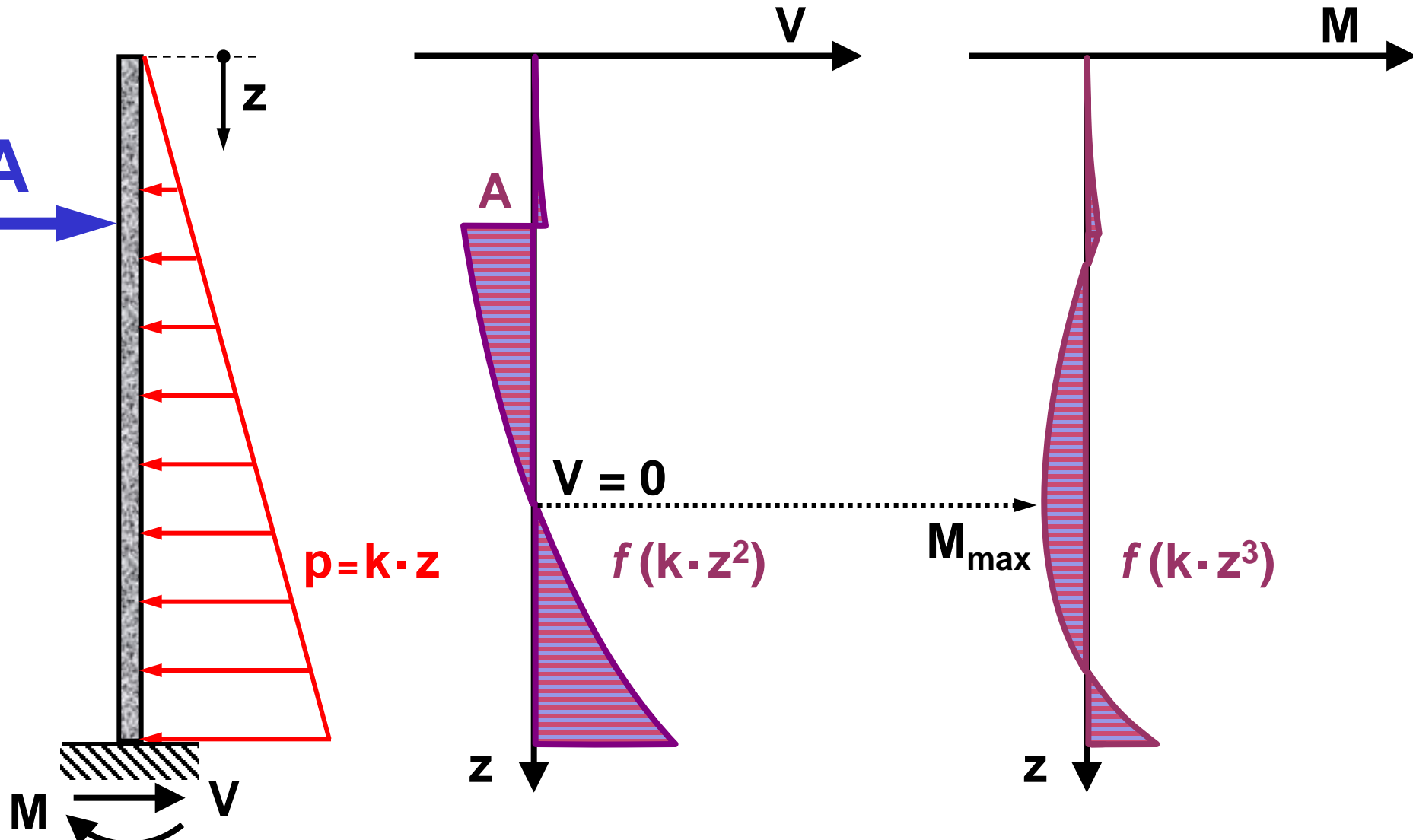
Effort tranchant et Moment fléchissant pour une charge répartie triangulaire et une force ponctuelle



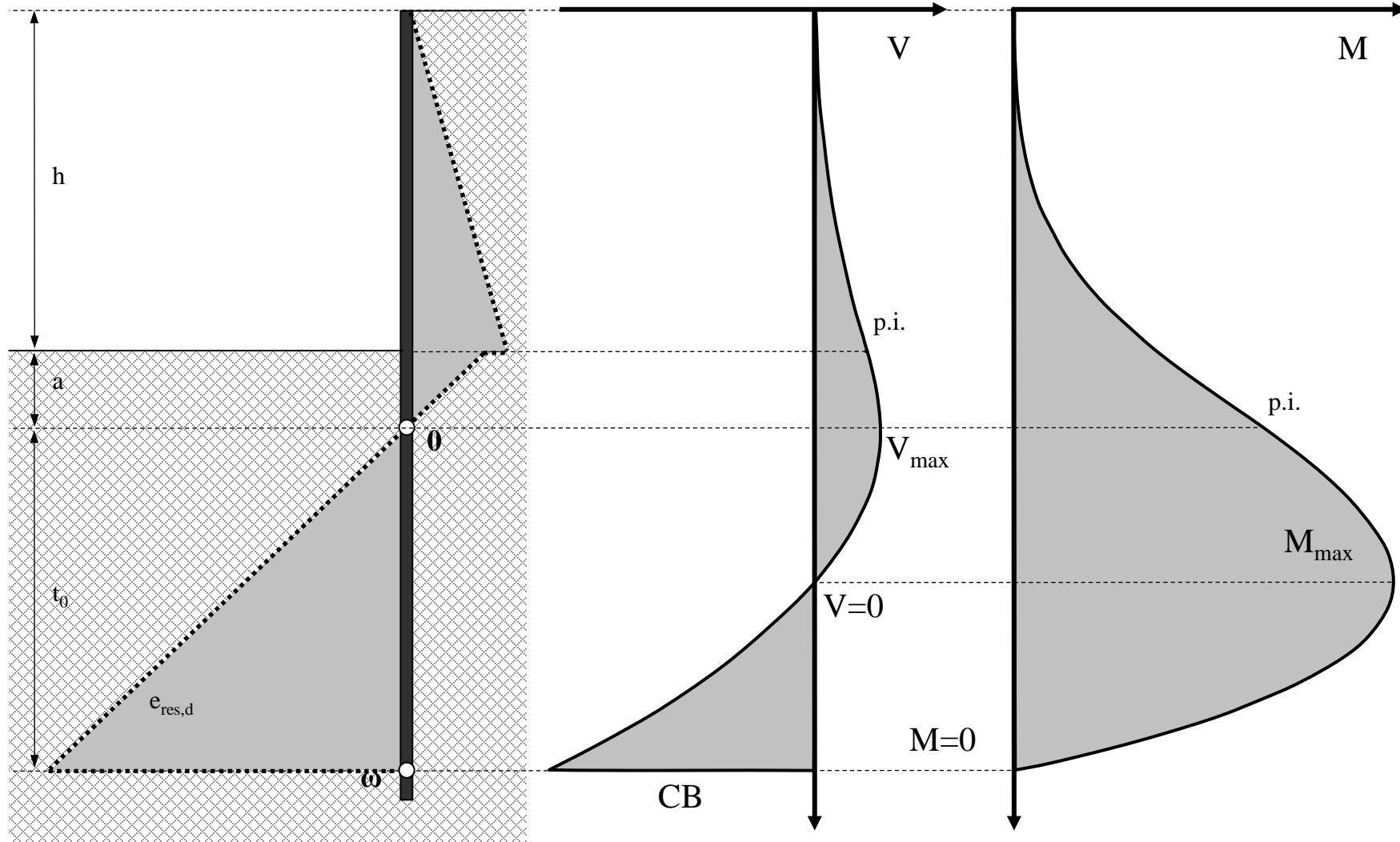
Effort tranchant et Moment fléchissant pour une charge répartie triangulaire et une force ponctuelle



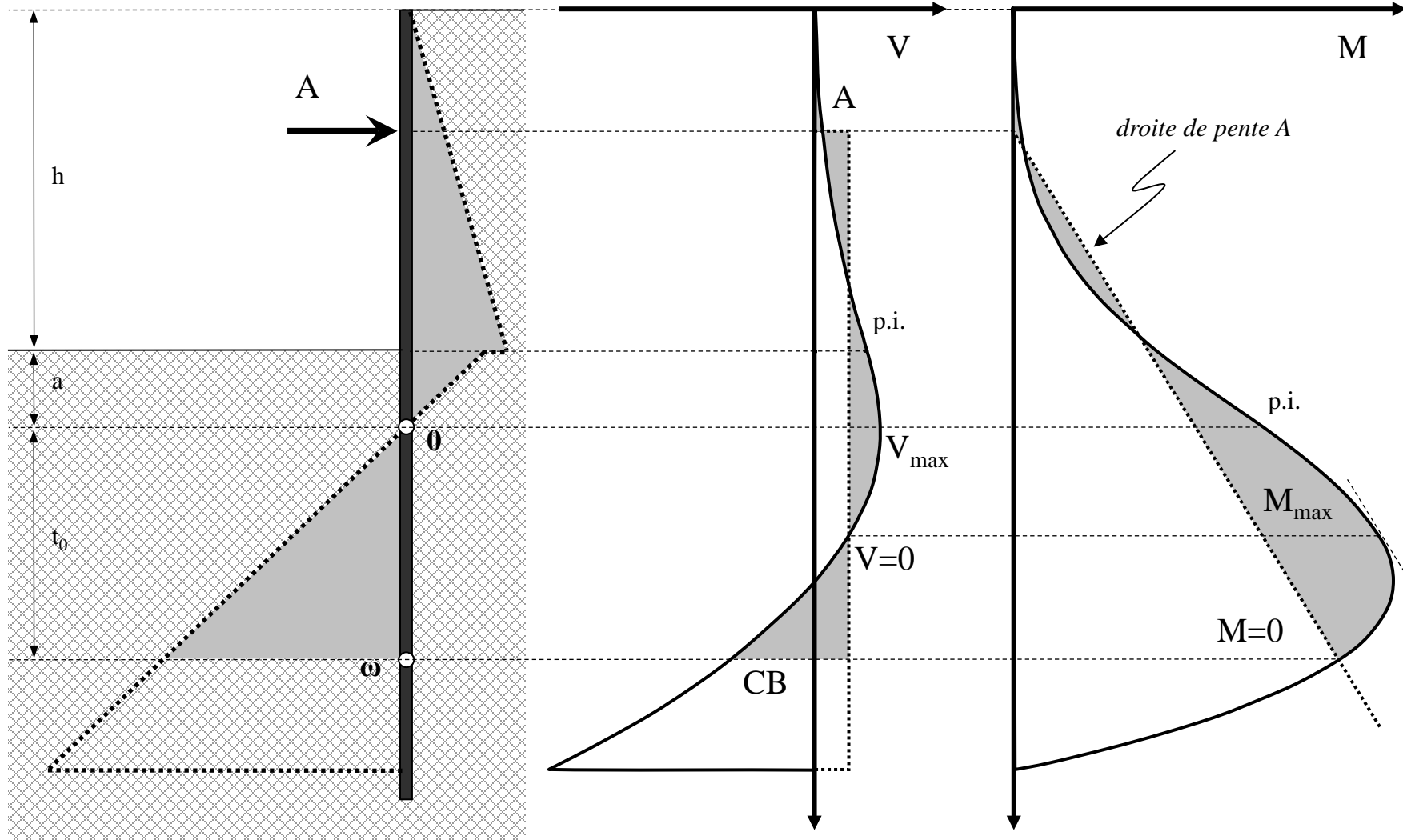
Effort tranchant et Moment fléchissant pour une charge répartie triangulaire et une force ponctuelle



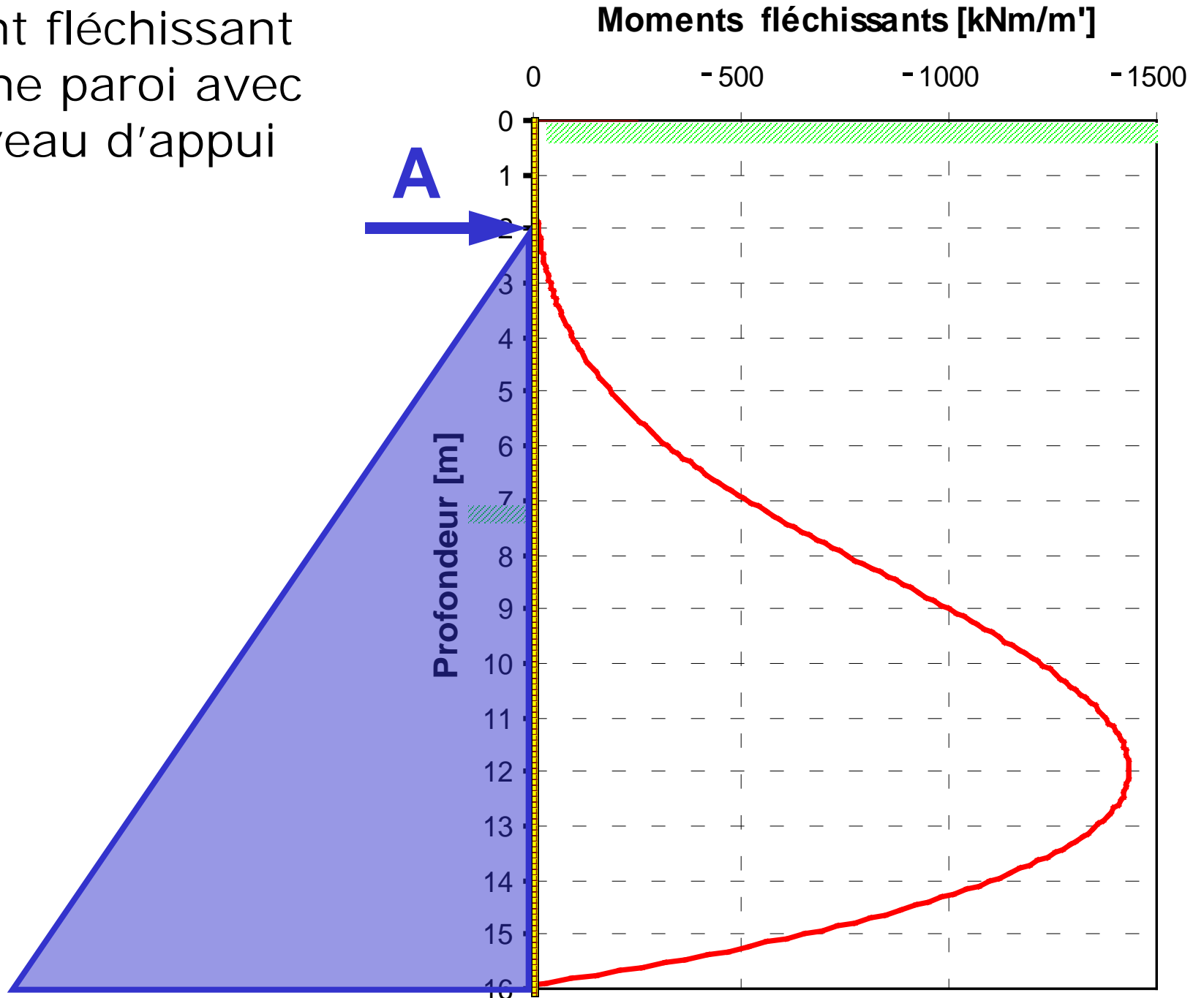
Diagrammes d'effort tranchant et de moment fléchissant pour une paroi simplement fichée



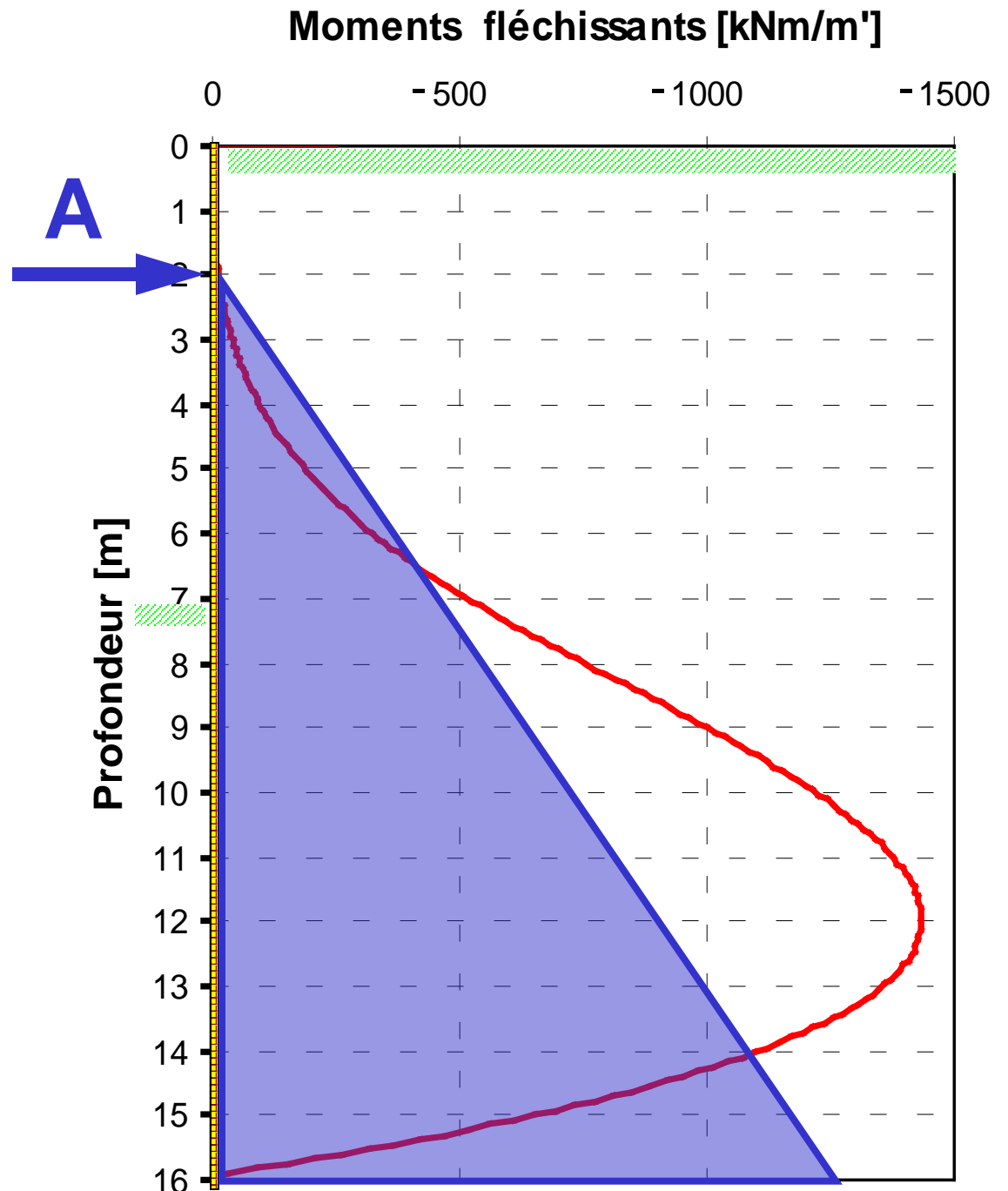
Diagrammes d'effort tranchant et de moment fléchissant pour une paroi ancrée et encastrée en pied



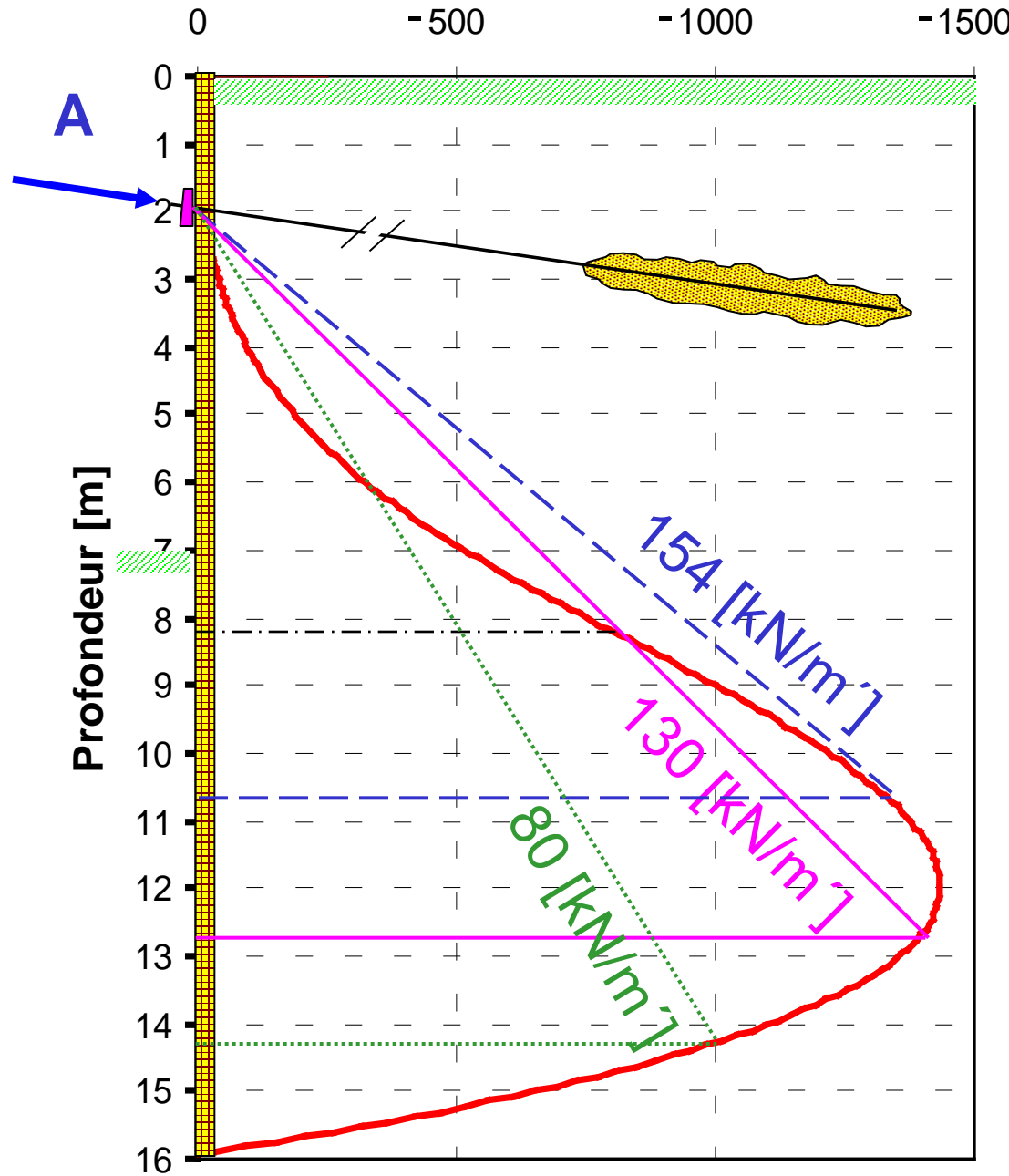
Moment fléchissant pour une paroi avec un niveau d'appui



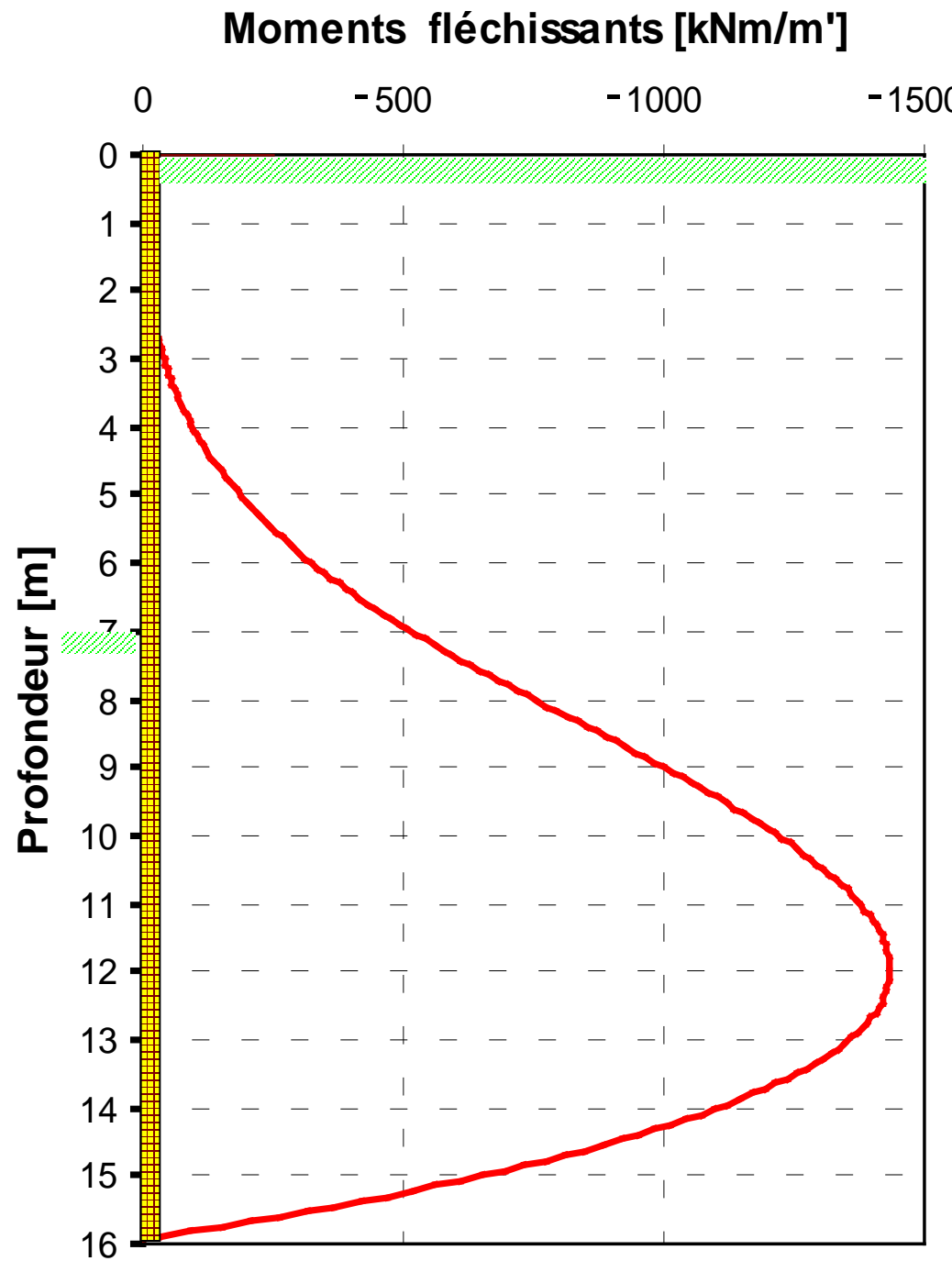
Moment fléchissant pour une paroi avec un niveau d'appui



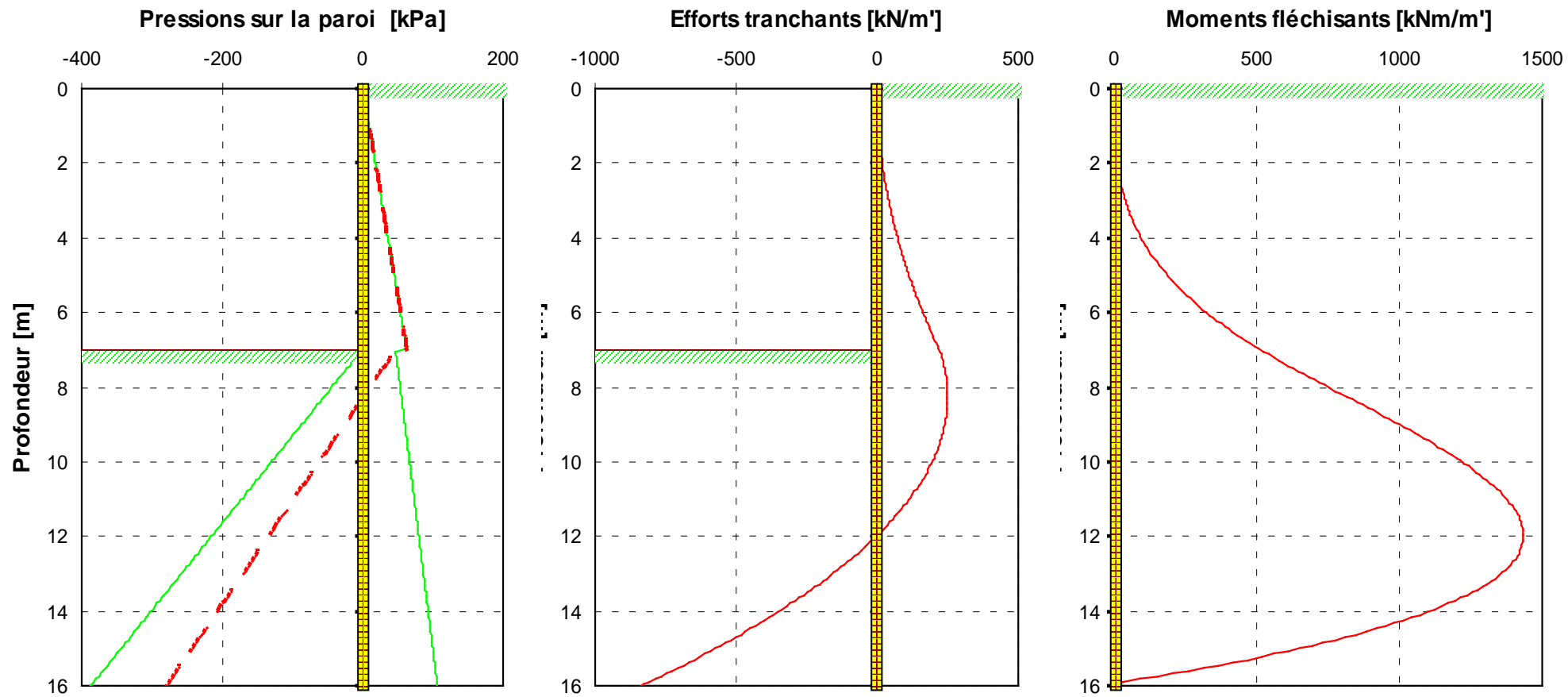
Moments fléchissants [kNm/m']



Paroi simplement fichée

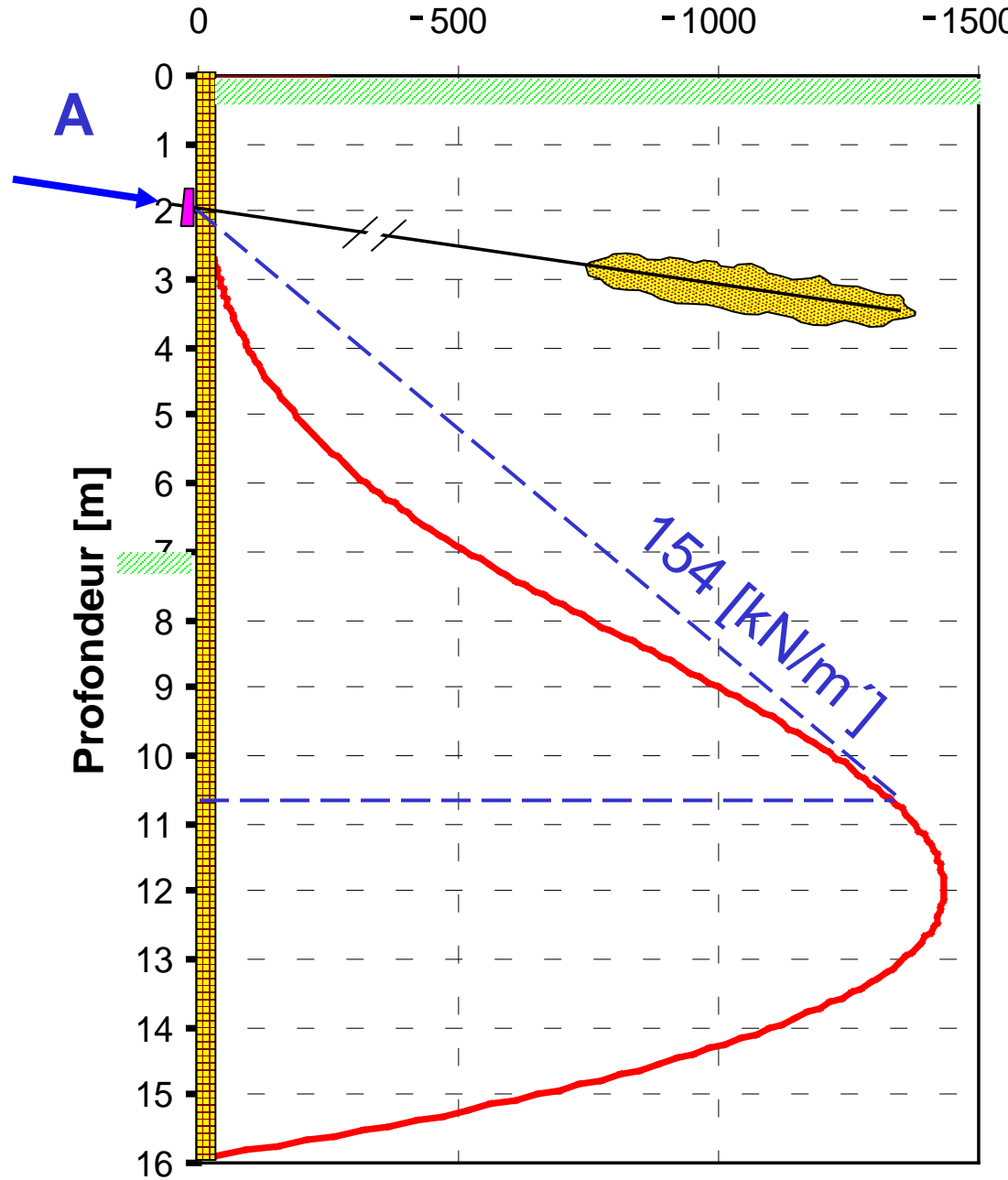


Paroi simplement fichée

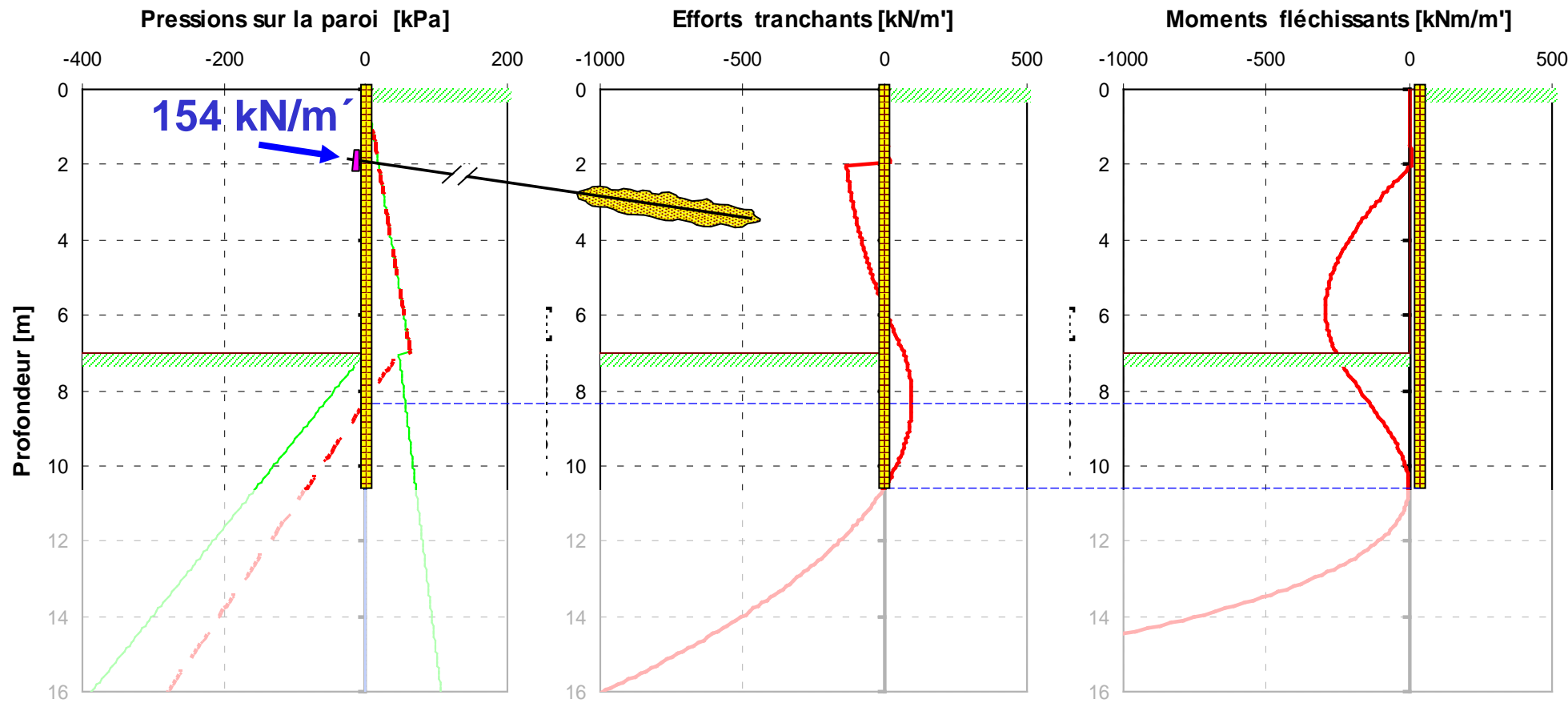


Paroi ancrée et butée en pied

Moments fléchissants [kNm/m']

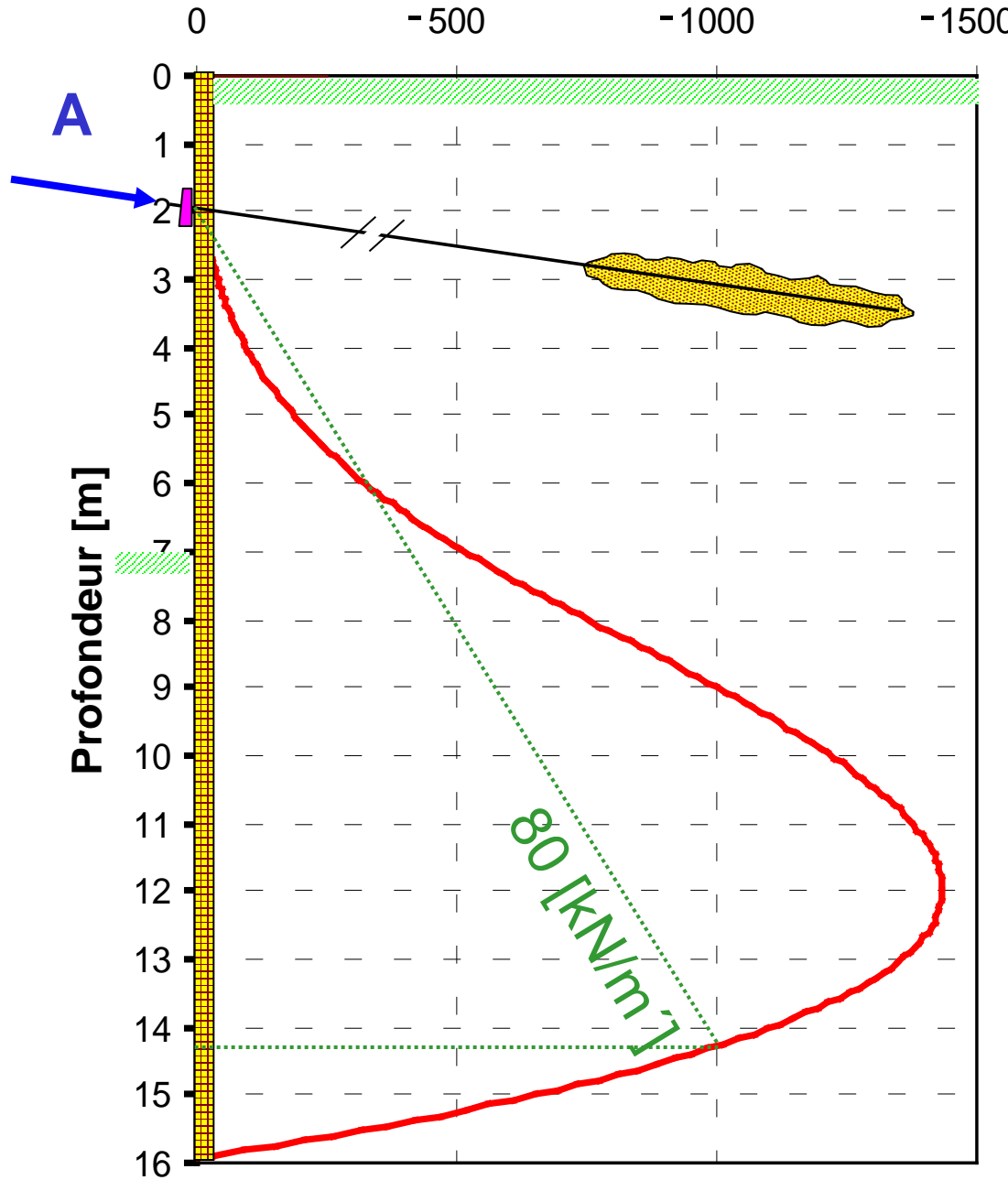


Paroi ancrée et butée en pied

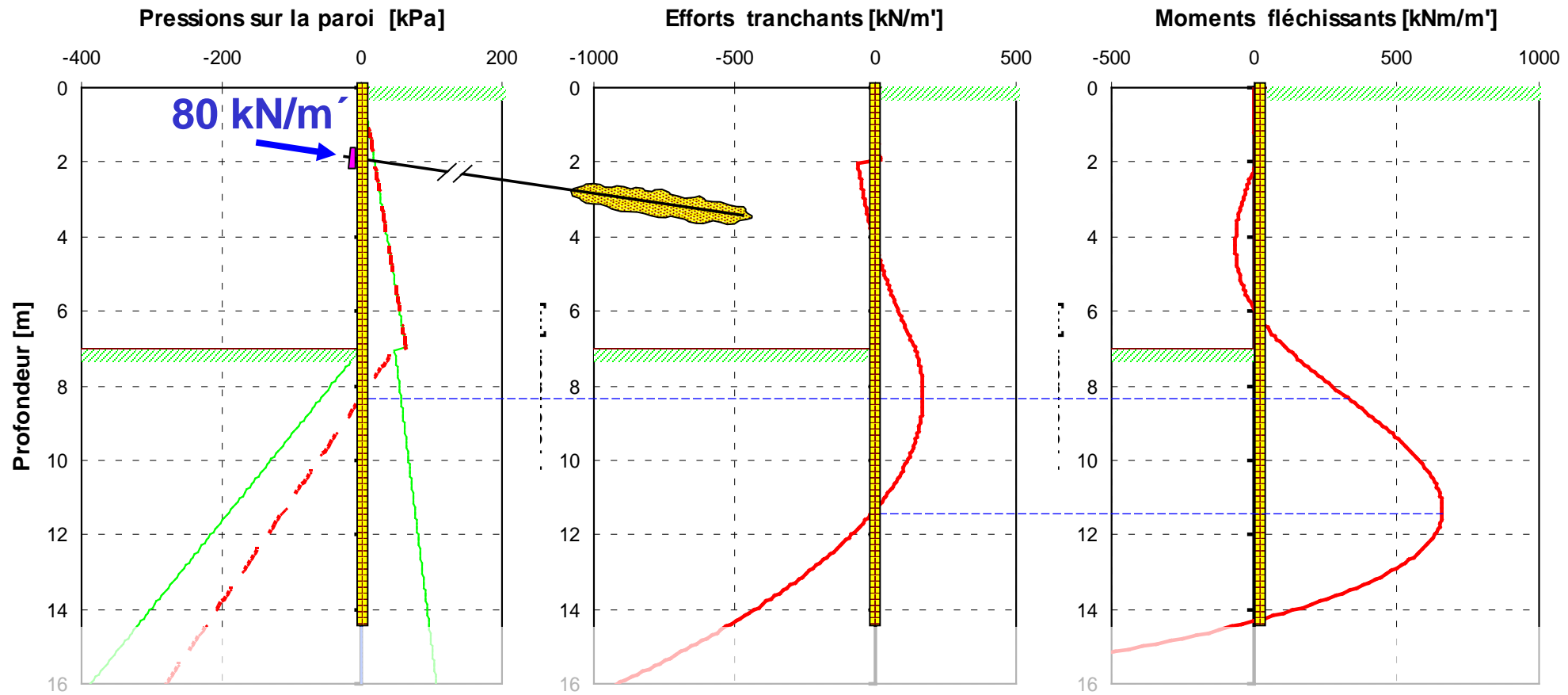


Paroi ancrée et encastrée en pied

Moments fléchissants [kNm/m']

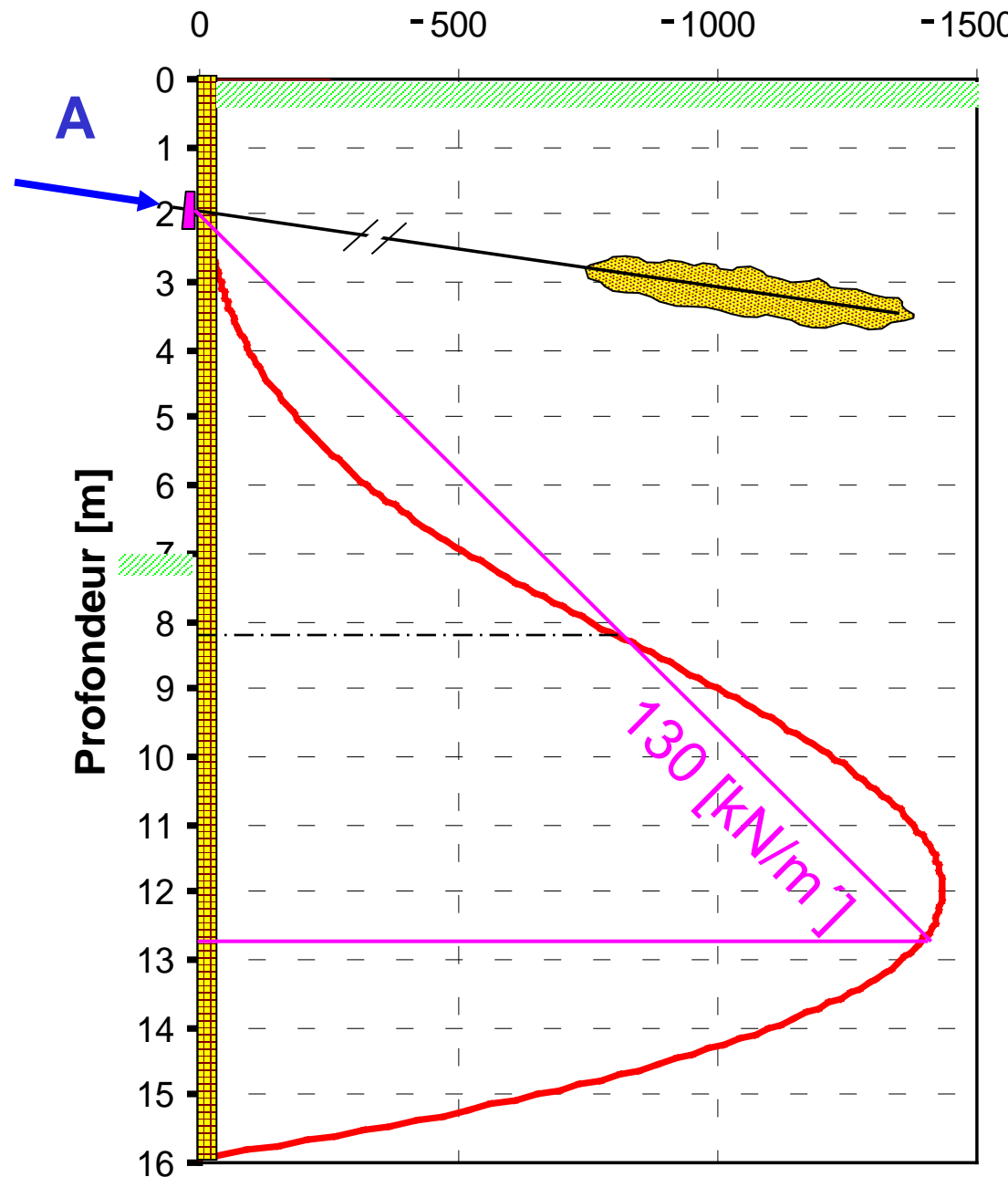


Paroi ancrée et encastrée (partiellement) en pied

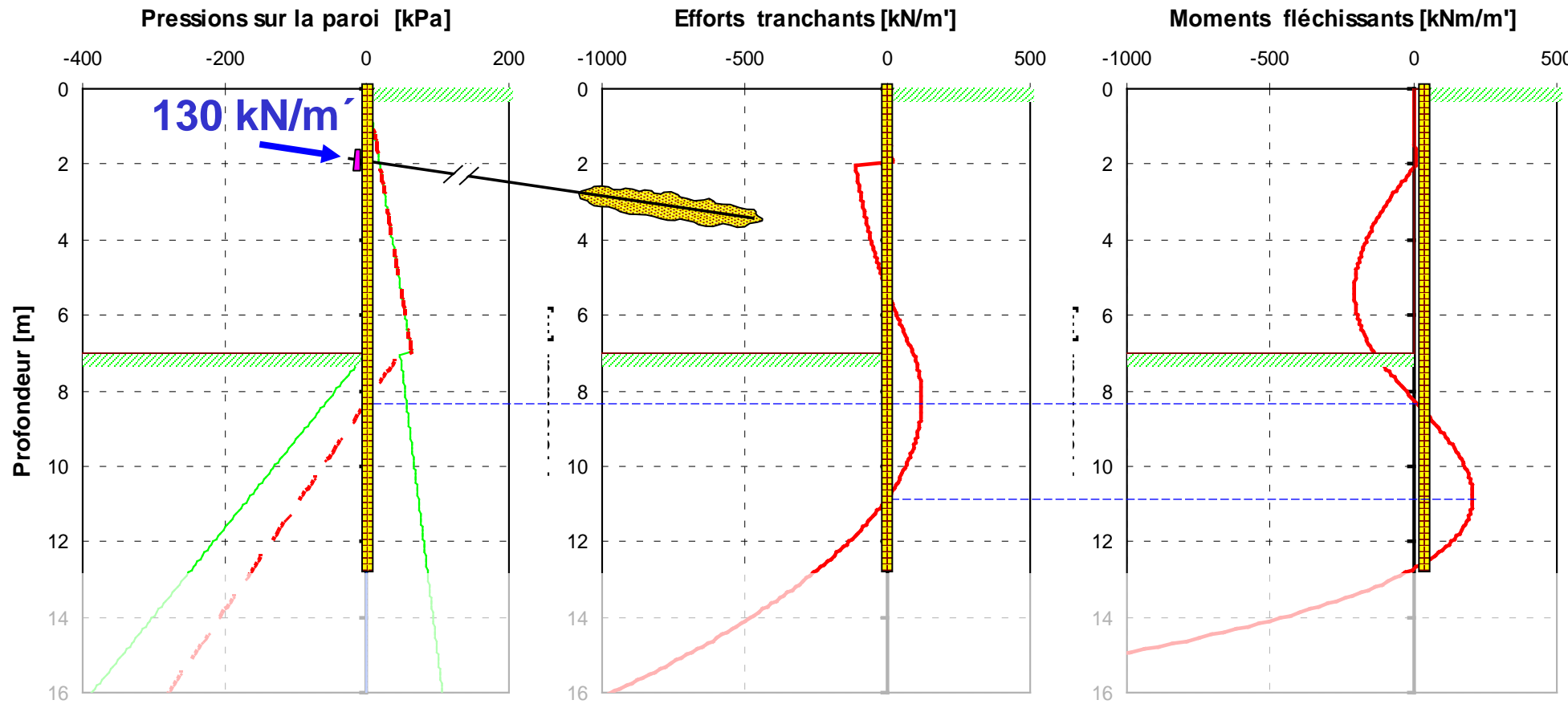


Paroi ancrée
et encastrée
en pied
selon Blum

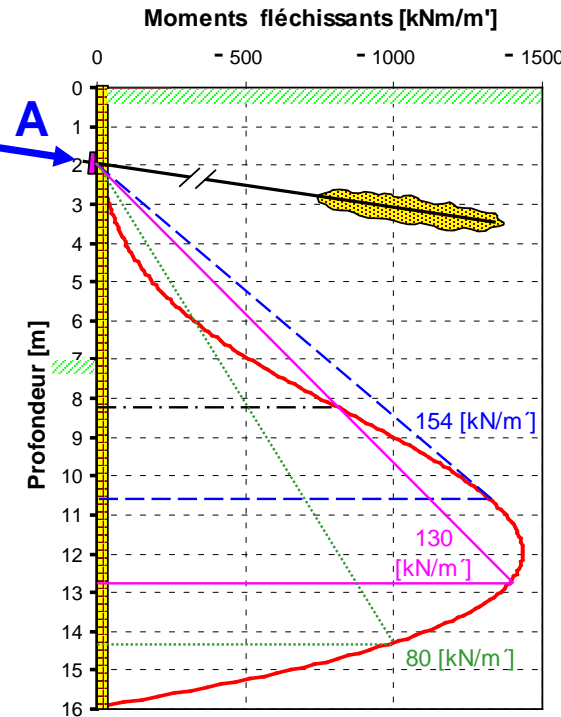
Moments fléchissants [kNm/m']



Paroi ancrée et encastrée (partiellement) en pied selon Blum



Récapitulatif



OUVRAGES GÉOTECHNIQUES

Simplement
fichée

Ancrée
et butée
en pied

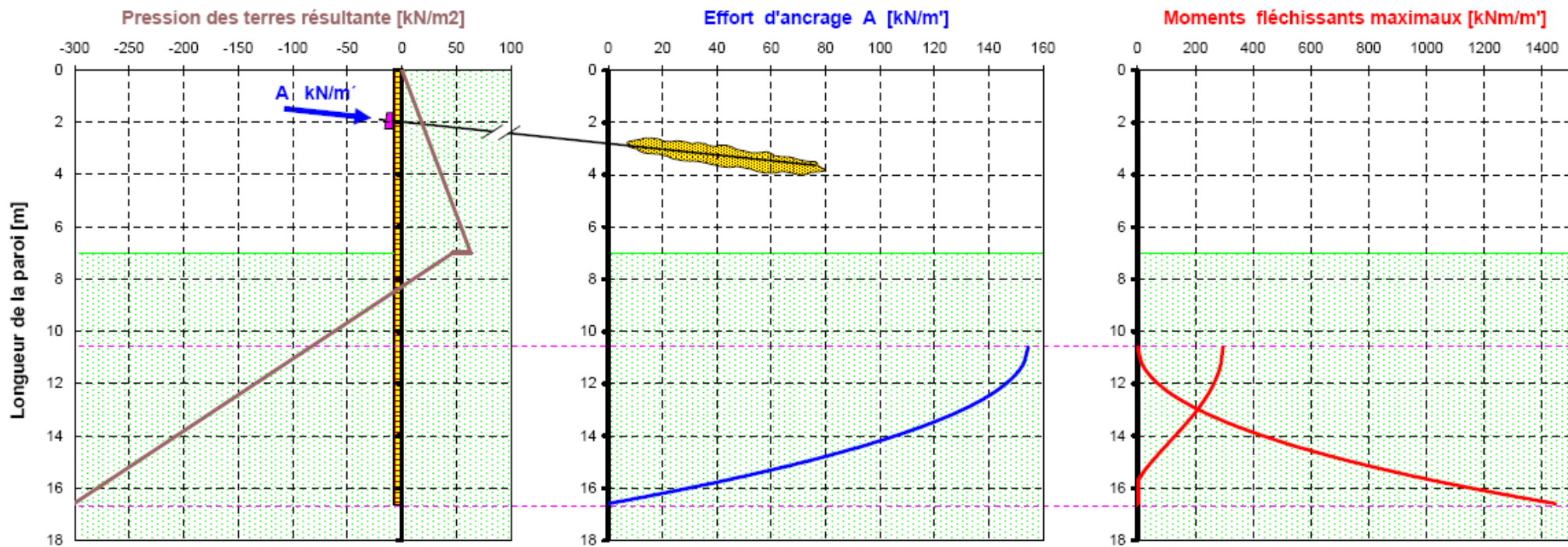
Ancrée et
encastrée
en pied
(Blum)

Ancrée et
encastrée
en pied

	Simply fichée	Ancrée et butée en pied	Ancrée et encastrée en pied (Blum)	Ancrée et encastrée en pied
A [kN/m']	0	154	130	80
C [kN/m']	815	0	245	495
t_0 [m]	7.65	2.35	4.5	6.05
$b/2$ [m]	0.6	0	0.25	0.4
t [m]	9.5	3.6	6.0	7.7
L [m]	16.5	10.6	13.0	14.7
$ M_{max} $ [kNm/m']	1430	290	210	660

ELU externe type 2 - Vérification des stabilités horizontale et de rotation - Calcul selon la SIA 267

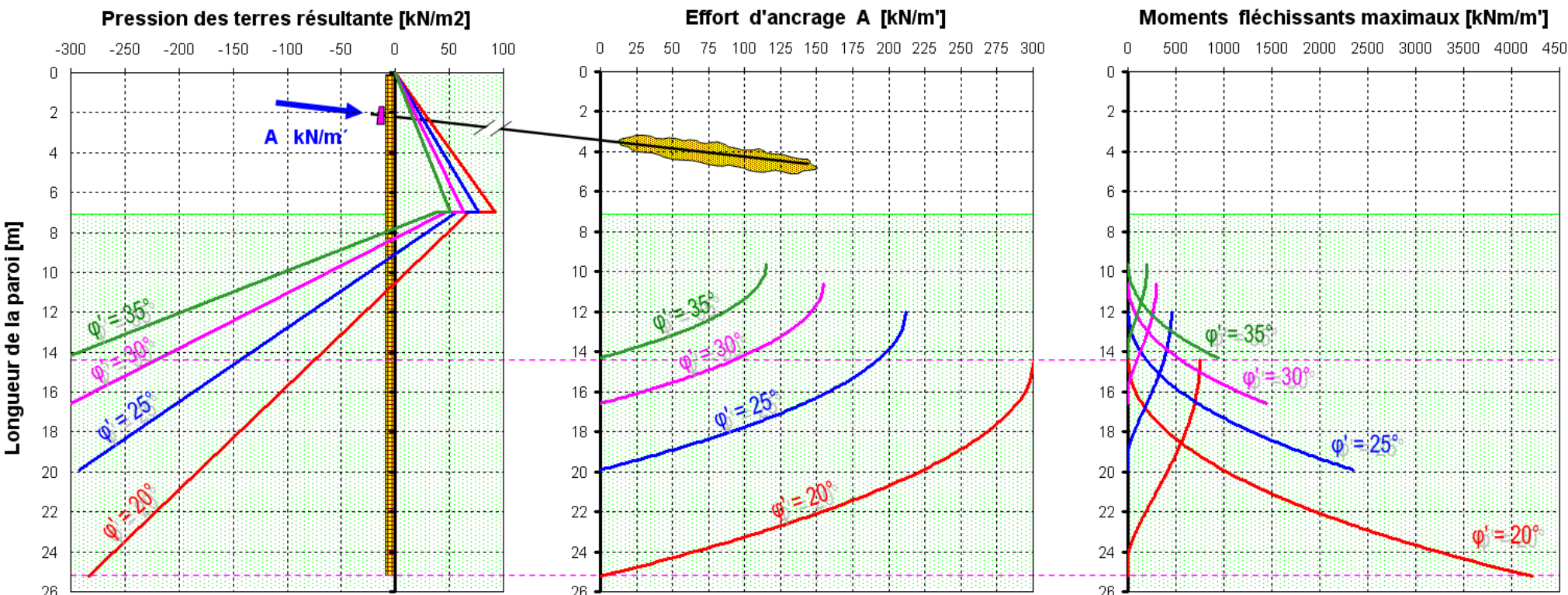
Effort d'ancrage et Moments fléchissants maximaux (+ et -)
en fonction de la longueur de la paroi



Fouille de 7 m de profondeur dans un sol purement pulvérulent ($\gamma = 20 \text{ kN/m}^3$; $\phi'_k = 30^\circ$), soutenue par une paroi lisse ($\delta'_k = 0^\circ$) ancrée à 2 m

ELU externe type 2 - Vérification des stabilités horizontale et de rotation - Calcul selon la SIA 267

Effort d'ancrage et Moments fléchissants maximaux (+ et -)
en fonction de la longueur de la paroi



Fouille de 7 m de profondeur dans un sol purement pulvérulent

$$\Phi'_k = 35^\circ$$

$$\Phi'_k = 30^\circ$$

$$\Phi'_k = 25^\circ$$

$$\Phi'_k = 20^\circ$$